

## Chapter 9 常微分方程初值问题数值解

张亚楠\*

### 1 引言和预备知识

考虑如下初值问题

$$\begin{cases} y'(x) = f(x, y), & x > a \\ y(a) = y_0 \end{cases} \quad (1)$$

已知:  $f(x, y)$  关于  $x$  连续, 关于  $y$  满足 Lipschitz 条件, 即

$$|f(x, y_1) - f(x, y_2)| \leq L|y_1 - y_2|.$$

上述问题在有限区间内存在唯一解  $y = y(x)$ ,  $x \in [a, b]$ <sup>1</sup>. 本章内容学习如何利用数值方法求出(1)的近似解, 也称为数值解. 在介绍数值方法之前, 我们先回顾一下连续解的唯一性证明, 证明方法对本章介绍的数值方法的误差分析部分具有参考意义.

**Theorem 1** 若  $f(x, y)$  关于  $x$  连续, 关于  $y$  满足 Lipschitz 条件, 则 (1) 存在唯一解。

**Proof:** Hint: 假设上述问题的初值为  $z_0$ , 则相应的解记为  $z(x)$ , 满足

$$z'(x) = f(x, z)$$

记

$$r(x) = z(x) - y(x)$$

有

$$\begin{cases} r'(x) = f(x, z) - f(x, y) \\ r(a) = z(a) - y(a) \end{cases}$$

或者

$$r'(x) = \frac{f(x, z) - f(x, y)}{z - y} r(x) := h(x) \cdot r(x)$$

\* ynzhang@suda.edu.cn 苏州大学数学科学学院

<sup>1</sup> 可通过构造 Picard 迭代证明解的存在性, 一般《常微分方程》教科书都有介绍

记

$$H(x) = \int_a^x h(t) dt = \int_a^x h(t) dt$$

可得

$$r'(x)e^{-H(x)} = e^{-H(x)}h(x)r(x)$$

进而

$$\frac{d}{dx}(e^{-H(x)}r(x)) = 0 \rightarrow e^{-H(x)}r(x) = \text{constant}$$

即

$$e^{-H(x)} * r(x) = e^{-H(a)} * r(a) = z_0 - y_0 \rightarrow r(x) = e^{H(x)}(z_0 - y_0).$$

代入 $H(x)$  定义可得

$$|z(x) - y(x)| = e^{\int_0^x h(t) dt} * |z_0 - y_0| \leq e^{L*(x-a)} * |z_0 - y_0|$$

上式反应了解对初值的依赖程度，也可直接得到解的唯一性。 ■

**例 1** 设 $f(x) \in C^3([x-h, x+h])$ , 则下式成立

$$\frac{f(x+h) - f(x)}{h} = f'(x) + \frac{h}{2}f''(\eta) \quad (2)$$

$$\frac{f(x) - f(x-h)}{h} = f'(x) - \frac{h}{2}f''(\zeta) \quad (3)$$

$$\frac{f(x+h) - f(x-h)}{2h} = f'(x) + \frac{h^2}{6}f'''(\theta) \quad (4)$$

**计算目标：** 在有限区间 $[a, b]$  上寻求方程(1)的解 $y(x)$  在一系列点

$$a = x_0 < x_1 < x_2 < \dots < x_n = b$$

上的近似值

$$y_1, y_2, \dots, y_n \quad \text{即} \quad y_k \approx y(x_k), \quad k = 1, 2, \dots, n.$$

本章约定，形如上式左端的符号为数值解，右端为精确解。

简单起见，将区间 $[a, b]$   $N$ 等分，记 $h = \frac{b-a}{N}$  为网格步长，记

$$x_k = a + kh, \quad k = 0, 1, 2, \dots, N$$

为网格节点. 所谓数值解：寻找一个网格函数(只在网格节点处有定义的函数)，也是一个向量 $\{y_k\}_{k=1}^N$ ，使得 $y_k \approx y(x_k)$ ,  $k = 1, 2, \dots, N$ .

## 2 Euler's method 及相关定义

设  $y(x) \in C^2[a, b]$ , 由Taylor 展开

$$y(x_{k+1}) = y(x_k) + y'(x_k)h + \frac{h^2}{2} f''(\xi_k) = y(x_k) + f(x_k, y(x_k))h + \frac{h^2}{2} f''(\xi_k) \quad (5)$$

略去小量项, 用数值解  $y_k$  替换精确解  $y(x_k)$ , 可得(Forward) Euler 格式

$$\begin{cases} y_{k+1} = y_k + hf(x_k, y_k), \\ y_0 = \eta \end{cases} \quad k = 0, 1, 2, \dots \quad (6)$$

求解上式即得到网格函数  $[y_0, y_1, y_2, \dots, y_N]^T$ .

**标注 2.1** 所得向量是否为有效近似? 精度如何?

$$\varepsilon_k = y(t_k) - y_k \xrightarrow{?} 0, \text{ as } h \rightarrow 0$$

**Theorem 2 (收敛性)** 设  $y(x)$  是问题(1)在区间  $[a, b]$  上的精确解,  $\{y_k\}_{k=0}^N$  是Euler格式(6)的数值解, 则存在与步长  $h$  无关的常数  $c$ , 使得下式成立

$$|y(x_k) - y_k| \leq c \cdot h \quad (7)$$

**Proof:** 记  $\varepsilon_k = y(x_k) - y_k$ ,  $k = 0, \dots, N$ , 则 (5)减去(6), 可得

$$\varepsilon_{k+1} = \varepsilon_k + h\varepsilon_k F_k + \frac{h^2}{2} f''(\xi_k)$$

其中

$$F_k = \frac{f(x_k, y(x_k)) - f(x_k, y_k)}{y(t_k) - y_k}, \quad \text{且} \quad |F_k| \leq L$$

进而得到

$$\begin{aligned} |\varepsilon_{k+1}| &\leq (1 + hL)|\varepsilon_k| + h^2 \frac{\|f''\|_\infty}{2} \\ &:= A|\varepsilon_k| + B \leq A(A|\varepsilon_{k-1}| + B) + B \\ &\leq A^2|\varepsilon_{k-1}| + (1 + A)B \\ &\leq A^{k+1}|\varepsilon_0| + (1 + A + \dots + A^k)B \\ &= A^{k+1} \cdot \varepsilon_0 + \frac{A^{k+1} - 1}{A - 1} B \end{aligned}$$

代入AB 得到

$$\varepsilon_{k+1} \leq \frac{(1 + hL)^{k+1} - 1}{hL} \cdot h^2 \frac{\|f''\|_\infty}{2} \leq \frac{e^{L(k+1)h} - 1}{L} \cdot h \frac{\|f''\|_\infty}{2} \leq \frac{e^{L(b-a)} - 1}{L} \frac{\|f''\|_\infty}{2} \cdot h, \quad k = 0, 1, \dots, N-1$$

(7) 得证. 估计式说明Euler方法具有一阶精度. ■

**标注 2.2** 差分方法的有三个重要概念: 相容性 (局部截断误差)、收敛性、(Lax) 稳定性。我们给出后退Euler、梯形公式、改进的Euler方法等格式之后, 观察 这些格式的共同点, 对它们进行分类并给出统一的局部截断误差的定义。

## 2.1 梯形公式和后退Euler公式的推导

在区间 $[x_j, x_{j+1}]$ 上积分得到:

$$\int_{x_j}^{x_{j+1}} y'(x) dx = \int_{x_j}^{x_{j+1}} f(x, y) dx$$

左端可以Newton-Leibniz 写出, 右端采用数值积分公式

$$y(x_{j+1}) - y(x_j) = \frac{h}{2} [f(x_j, y(x_j)) + f(x_{j+1}, y(x_{j+1}))] + \frac{h^3}{12} y''(\xi_j)$$

丢掉小量项得梯形公式:

$$y_{j+1} = y_j + \frac{h}{2} [f(x_j, y_j) + f(x_{j+1}, y_{j+1})] \quad (8)$$

上式是非线性方程, 可采用Newton 法、或者二分法计算。更常用的是简单迭代法, 算法如下:

$$\begin{cases} y_{j+1}^{(0)} = y_j + hf(x_j, y_j) \\ y_{j+1}^{(k+1)} = y_j + \frac{h}{2} [f(x_j, y_j) + f(x_{j+1}, y_{j+1}^{(k)})], \quad k = 1, 2, 3, \dots \end{cases} \quad (9)$$

类似可得后退Euler公式

$$y_{j+1} = y_j + hf(x_{j+1}, y_{j+1}) \quad (10)$$

观察发现三个公式都是从 $y_j$ 出发走一步计算 $y_{j+1}$ , 这类方法均可写成如下形式

$$y_{j+1} = y_j + h\varphi(x_j, h, y_j, y_{j+1})$$

统称为单步法。根据是否要求解非线性方程来区分, 又将单步法分为两类: 显式方法(显格式)和隐式方法(隐格式)。

**定义 1** 局部截断误差(Local Truncation Error):

$$T_{k+1} = y(t_{k+1}) - [y(x_k) + h\varphi(x_k, h, y(x_k), y(x_{k+1}))]$$

LTE表示第 $k+1$ 步的数值解和精确解的差, 但是只计算一步计算的误差, 假定之前的 $k$ 步没有误差. 这和收敛性分析的误差估计式是不同的。读者注意理解局部 (local) 的意义所在。

前文已知 Euler格式的局部截断误差(LTE)

$$|T_{k+1}| = \left| \frac{h^2}{2} f''(\xi_k) \right| \leq \frac{h^2}{2} \|f''\|_{\infty}$$

根据定义可推导给出[后退Euler公式](#), [梯形公式](#) 的局部截断误差, 并分析其收敛性和相应的误差估计。

**例 2** 推导梯形方法:

$$y_{k+1} = y_k + \frac{h}{2} \left( f(x_k, y_k) + f(x_{k+1}, y_{k+1}) \right)$$

的局部截断误差.

解: 由LTE定义可得

$$\begin{aligned} T_{k+1} &= y(x_{k+1}) - \left\{ y(x_k) + \frac{h}{2} \left[ f(x_k, y(x_k)) + f(x_{k+1}, y(x_{k+1})) \right] \right\} \\ &= \left[ y(x_k) + h y'(x_k) + \frac{h^2}{2} y''(x_k) + \frac{h^3}{6} y'''(\xi_k) \right] - \left\{ y(x_k) + \frac{h}{2} \left[ y'(x_k) + y'(x_{k+1}) \right] \right\} \\ &= \frac{h}{2} \left[ y'(x_k) + h y''(x_k) - y'(x_{k+1}) \right] + \frac{h^3}{6} y'''(\xi_k) \end{aligned}$$

代入

$$y'(x_{k+1}) = y'(x_k) + h y''(x_k) + \frac{h^2}{2} y'''(\eta_k)$$

得到

$$T_{k+1} = \frac{h^3}{6} y'''(\xi_k) - \frac{h^3}{4} y'''(\eta_k) = \frac{-h^3}{12} f'''(x_k) + \mathcal{O}(h^4) = \mathcal{O}(h^3)$$

上式表明  $|T_{k+1}| \leq ch^3$ .

**Theorem 3** (梯形方法误差估计) 设  $y(x)$  是问题(1)在区间  $[a, b]$  上的精确解,  $\{y_k\}_{k=0}^N$  是梯形方法(8)的数值解, 则存在与步长  $h$  无关的常数  $c$ , 使得下式成立

$$|y(x_k) - y_k| \leq c \cdot h^2 \quad (11)$$

**Proof:** 记  $\varepsilon_k = y(x_k) - y_k$ ,  $k = 0, 1, 2, \dots, N$ . 由局部截断误差定义可得

$$y(x_{k+1}) = y(x_k) + \frac{h}{2} \left[ f(x_k, y(x_k)) + f(x_{k+1}, y(x_{k+1})) \right] + T_{k+1}$$

上式与梯形方法(8)相减, 可得误差方程

$$\varepsilon_{k+1} = \varepsilon_k + \frac{h}{2} \left[ F_k^1 \varepsilon_k + F_k^2 \varepsilon_{k+1} \right] + T_{k+1},$$

其中

$$F_k^1 = \frac{f(x_k, y(x_k)) - f(x_k, y_k)}{y(x_k) - y_k}, \quad F_k^2 = \frac{f(x_{k+1}, y(x_{k+1})) - f(x_{k+1}, y_{k+1})}{y(x_{k+1}) - y_{k+1}}$$

利用Lipschitz条件, 得到

$$\begin{aligned} |\varepsilon_{k+1}| &\leq |\varepsilon_k| + \frac{hL}{2} (|\varepsilon_k| + |\varepsilon_{k+1}|) + ch^3 \\ \text{i.e.,} \quad \left(1 - \frac{hL}{2}\right) |\varepsilon_{k+1}| &\leq \left(1 + \frac{hL}{2}\right) |\varepsilon_k| + ch^3 \end{aligned}$$

当  $hL \leq 2/3$  时, 有  $(1 - \frac{hL}{2}) > 3/2$  以及  $\frac{1 + \frac{hL}{2}}{1 - \frac{hL}{2}} > 1 + \frac{3hL}{2}$ , 进而

$$|\varepsilon_{k+1}| \leq \left(1 + \frac{3hL}{2}\right) |\varepsilon_k| + \frac{3}{2} ch^3,$$

类似于Euler方法的误差估计, 记

$$|\varepsilon_{k+1}| \leq A|\varepsilon_k| + B$$

可得梯形公式误差估计

$$|\varepsilon_{k+1}| \leq c \cdot h^2, \quad 0 \leq k \leq N-1.$$

**定义 2 (相容性)** 若初值问题(1)的数值格式的局部截断误差满足

$$T_k/h \rightarrow 0, \text{ as } h \rightarrow 0$$

称数值格式和原问题是相容的

偏微分方程数值格式的局部截断误差定义于常微分方程不同, 若对偏微分方程数值解定义相容性, 只要LTE是步长 $h$ 的同阶或者高阶小量即可.

**定义 3 (Lax-stable 稳定性)** 若数值格式的初值有扰动 $\varepsilon_0 = y(0) - y^\varepsilon(0)$ , 所产生的解的变化满足:

$$|y_j - y_j^\varepsilon| \leq c \cdot \varepsilon_0,$$

其中 $c$ 与计算区域和Lipschitz常数相关, 与 $\varepsilon_0$ 无关, 此时称该数值格式是Lax 稳定的.

Euler方法, 后退Euler 和梯形公式均是Lax稳定的, 我们以后退的Euler格式为例进行证明, 其它格式 留给读者练习.

**Theorem 4 (零稳定性/Lax-稳定性)** 假设 $y_k, z_k$ 分别由如下格式(不同初值)计算得到

$$\begin{cases} y_{k+1} = y_k + hf(x_k, y_{k+1}), \\ y_0 \end{cases} \quad \begin{cases} z_{k+1} = z_k + hf(x_k, z_{k+1}), \\ z_0 \end{cases} \quad k = 0, 1, 2, \dots$$

则存在常数 $c$ 满足

$$|y_k - z_k| \leq c|y_0 - z_0|$$

**Proof:** 记 $e_k = y_k - z_k$ , 则 两式相减可得

$$\begin{cases} e_{k+1} = e_k + h[f(x_k, y_{k+1}) - f(x_k, z_{k+1})] \\ e_0 = y_0 - z_0 \end{cases}$$

记

$$H_k = \frac{f(x_k, y_{k+1}) - f(x_k, z_{k+1})}{y_{k+1} - z_{k+1}}$$

则得到

$$e_{k+1} = e_k + hH_k e_{k+1} \Rightarrow |e_{k+1}| \leq |e_k| + hL|e_{k+1}| \Rightarrow (1 - hL)|e_{k+1}| \leq |e_k|.$$

当 $hL < 1/2$  时, 有 $1/(1 - hL) \leq (1 + 2Lh)$ , 以及

$$|e_{k+1}| \leq (1 + 2Lh)|e_k| \leq e^{2L(b-a)}|e_0| \blacksquare$$

**Theorem 5 (Peter Lax 等价定理)** 对问题(1)的相容的数值格式, 收敛性与Lax稳定性等价.

Lax 等价定理的结论可推广到线性偏微分方程的差分格式.

**标注 2.3** 我们给出了三个格式: Euler, 向后Euler, 梯形公式. 它们都属于单步法, 分别属于显格式和隐格式, 他们都是收敛的, Lax稳定的. 要求掌握他们的局部截断误差推导, 收敛性证明, 和Lax稳定性证明. 另外, 所有单步法均具有如下形式

$$y_{j+1} = y_j + h\phi(h, x_j, y_j, y_{j+1})$$

读者可证明若上式的局部截断误差满足  $T_j = \mathcal{O}(h^{p+1})$ , 则数值解满足  $|y(x_{j+1}) - y_{j+1}| \leq ch^p$ . 这也解释了为何把这类格式称为具有  $p$  阶精度.

### 3 Runge-Kutta method

从计算方便的角度出发可得一个预测校正公式(改进的Euler)

$$\begin{cases} \bar{y}_{k+1} = y_k + hf(x_k, y_k) \\ y_{k+1} = y_k + \frac{h}{2} \left( f(x_k, y_k) + f(x_{k+1}, \bar{y}_{k+1}) \right) \end{cases}$$

可以证明: 改进的Euler公式具有  $\mathcal{O}(h^3)$  的局部截断误差, 且其数值解 具有二阶精度.

从计算的角度出发, 将上式改写为

$$\begin{cases} K_1 = f(x_k, y_k) \\ K_2 = f(x_k + h, y_k + hK_1) \\ y_{k+1} = y_k + \frac{h}{2} (K_1 + K_2) \end{cases}$$

上式的计算量是Euler方法的两倍, 远远小于后退Euler和梯形方法等隐式方法.  $K_1, K_2$  可视为  $y'(x_j), y'(x_{j+1})$  的近似值. 思考: 多计算几次近似导数 如  $K_1, K_2, K_3, K_4$  也许效果会更好? Right!

#### 3.1 二阶Runge-Kutta格式的推导

**例 3** 寻找参数  $\alpha, \beta, \lambda, \mu$  使得如下格式的局部截断误差的阶数尽量高?

$$\begin{cases} K_1 = f(x_k, y_k) \\ K_2 = f(x_k + \alpha h, y_k + \beta h K_1) \\ y_{k+1} = y_k + h(\lambda K_1 + \mu K_2) \end{cases}$$

解: 由 Local Truncation Error 定义: 可得

$$T_{k+1} = y(x_{k+1}) - \left\{ y(x_k) + h \left[ f + \mu f(x_k + \alpha h, y(x_k) + \beta h f) \right] \right\}_{(x_k, y(t_k))} \quad (12)$$

其中  $f = f(x_k, y(t_k))$ . 由Taylor 展开

$$y(x_{k+1}) = y(x_k) + h y'(x_k) + \frac{h^2}{2} y''(x_k) + \frac{h^3}{6} y'''(x_k) + \mathcal{O}(h^4) \quad (13)$$

利用方程可得

$$y'(x_k) = f(x_k, y(x_k)) \quad (14)$$

$$y''(x_k) = \frac{\partial f}{\partial x}(x_k, y(x_k)) + \frac{\partial f}{\partial y}(x_k, y(x_k)) y'(x_k) \quad (15)$$

为了书写方便, 在不引起歧义情况下, 后文推导将略去自变量记号  $(x_k)$  和  $(x_k, y(x_k))$ . 由二元函数Taylor展开

$$f(x_k + \alpha h, y(x_k) + \beta h f(x_k, y(x_k))) = f(x_k, y(x_k)) + \frac{\partial f}{\partial x} \cdot \alpha h + \frac{\partial f}{\partial y} \cdot \beta h f(x_k, y(x_k)) + \mathcal{O}(h^2)$$

代入以上结果得到

$$T_{k+1} = y + h y' + \frac{h^2}{2} y'' + \mathcal{O}(h^3) - \left\{ y + h \left[ \lambda f + \mu \left( f + \frac{\partial f}{\partial x} \cdot \alpha h + \frac{\partial f}{\partial y} \cdot \beta h f + \mathcal{O}(h^2) \right) \right] \right\} \quad (16)$$

$$= h f + \frac{h^2}{2} \left( \frac{\partial f}{\partial x} + \frac{\partial f}{\partial y} f \right) - h \left[ \lambda f + \mu \left( f + \frac{\partial f}{\partial x} \cdot \alpha h + \frac{\partial f}{\partial y} \cdot \beta h f \right) \right] + \mathcal{O}(h^3) \quad (17)$$

$$= (1 - \lambda - \mu) h f + h^2 \frac{\partial f}{\partial x} (1/2 - \alpha \mu) + h^2 \frac{\partial f}{\partial y} \cdot f (1/2 - \mu \beta) + \mathcal{O}(h^3) \quad (18)$$

逐项比较系数可得

参数满足的方程

$$\begin{cases} 1 - \mu = 0 \\ \frac{1}{2} - \mu \alpha = 0 \\ \frac{1}{2} - \mu \beta = 0 \end{cases}$$

$$\mu \neq 0 \Rightarrow \alpha = \beta \quad \& \quad \mu = 2\alpha \quad \& \quad \lambda = 1 - \mu$$

- 1) 当  $\alpha = \beta = 1$ , &  $\mu = \lambda = 1/2$  时, 即为改进的Euler公式、也是 TVD(Total variation diminishing)、Strong stability preserving (ssp)
- 2) 当  $\alpha = \beta = 1/2$ , &  $\mu = 1$  &  $\lambda = 0$  时, 即为中点公式

**标注 3.1** 改进的Euler公式 为什么有其它、更神气的名字? 记Euler方法为算子  $E$ ,

$$E(y_k) = y_k + h f(x_k, y_k)$$



将改进的Euler法改写为

$$\begin{aligned} y_{k+1} &= \frac{1}{2}y_k + \frac{1}{2}\left[y_k + hf(x_k, y_k) + hf(x_{k+1}, E(y_k))\right] \\ &= \frac{1}{2}y_k + \frac{1}{2}\left[E(y_k) + hf(x_{k+1}, E(y_k))\right] \\ &= \frac{1}{2}\left[y_k + E(E(y_k))\right] \end{aligned}$$

可以看作是从 $y_k$ 出发, 作用两步Euler方法, 再和 $y_k$ 做平均. 若Euler方法的算子范数 $\|E\| \leq 1$ , 则改进的Euler公式保持这一性质:

$$\begin{aligned} \|y_{k+1}\| &\leq \frac{1}{2}(\|y_k\| + \|E(E(y_k))\|) \leq \frac{1}{2}(\|y_k\| + \|E\| \cdot \|E(y_k)\|) \\ &\leq \frac{1}{2}(\|y_k\| + \|E\| \cdot \|E\| \cdot \|y_k\|) \leq \|y_k\| \end{aligned}$$

所以RK2(改进Euler, 2阶Runge-Kutta)也称为强稳定性保持算法(ssp).

RK2即保持了和梯形公式同样的二阶精度, 又和显式Euler法一样计算简单, 是非常受欢迎的算法之一。实用中, 最受欢迎的是同样计算简单且具有更高精度的4阶Runge-Kutta方法. 我们只给出格式, 不做推导和收敛性证明<sup>2</sup>.

$$\left\{ \begin{array}{l} K_1 = f(x_k, y_k) \\ K_2 = f\left(x_k + \frac{h}{2}, y_k + \frac{h}{2}K_1\right) \\ K_3 = f\left(x_k + \frac{h}{2}, y_k + \frac{h}{2}K_2\right) \\ K_4 = f(x_k + h, y_k + hK_3) \\ y_{k+1} = y_k + \frac{h}{6}(K_1 + 2K_2 + 2K_3 + K_4) \end{array} \right., \quad \text{经典4阶RK方法}$$

## 4 常微分方程组的计算

从理论和计算的难易程度上, 我们对本课程涉及到的“方程组”进行简要的对比

1. 最简单: 线性代数方程组<sup>3</sup>
2. 较为困难: 非线性代数方程组
3. 最为困难: 非线性常微分方程组

本章介绍的对单个微分方程的单步法均可“不加修改”的应用于求解微分方程组.

我们通过例子, 介绍向前求解ODEs(常微分方程组)的Euler方法.

<sup>2</sup>读者可参考RK2的LTE推导过程, 体会一下RK4的推导过程复杂程度.

<sup>3</sup>大规模问题有其自身的特点和难度, 此处对比的未知量个数相同的情况

例 4 考虑如下问题

$$\begin{cases} \frac{dx}{dt} = -y + x(x^2 + y^2 - 1)^2, & t > 0 \\ \frac{dy}{dt} = x + y(x^2 + y^2 - 1)^2, & t > 0 \\ x(0) = 0.2; \quad y(0) = 0.2 \end{cases}$$

记  $\Delta t > 0$  是网格步长,  $t_j = j\Delta t$ , 记  $x_j \approx x(t_j)$ ,  $y_j \approx y(t_j)$ , 我们给出计算

$$\begin{cases} \frac{dx}{dt} = f_1(t, x, y), & t > 0 \\ \frac{dy}{dt} = f_2(t, x, y), & t > 0 \end{cases}$$

的Euler方法

$$\begin{cases} x_{j+1} = x_j + \Delta t * f_1(t_j, x_j, y_j), & j \geq 0 \\ y_{j+1} = y_j + \Delta t * f_2(t_j, x_j, y_j), & j \geq 0 \\ (x_0, y_0) \text{ known initial values} \end{cases}$$

和单个方程的Euler方法一样是显格式, 循环递推计算即可. 这里给出演示代码供参考.

```
1 clear , close all ,
2 f1 = @( u,v)  v + u.*(u.^2 + v.^2 -1).^2;
3 f2 = @( u,v) -u + v.*(u.^2 + v.^2 -1).^2;
4 % % % % % % % % lines 5-7 is not used for solve ODEs
5 m1 = 81; x1 = linspace(-2,2,m1); y1 = x1';
6 F1 = f1(x1,y1); F2 = f2(x1,y1);
7 figure(1); streamslice(x1,y1,F1,F2); hold on, axis equal,
8 dt = 0.01; N = 985; t0 = (0:dt:N*dt)';
9 X0 = [0.2 0.2]';
10 for j = 1:N
11     x = X0(1,j); y = X0(2,j); f11 = f1(x,y); f12 = f2(x,y);
12     X0(:,j+1) = X0(:,j) + dt*[f11; f12];
13     % for k = 1:11
14     %     mj = X0(:,j) + dt*[f11; f12];
15     %     f11 = f1(mj(1),mj(2)); f12 = f2(mj(1),mj(2));
16     % end
17     X0(:,j+1) = mj;
18 end
19 u = X0(1,:); v = X0(2,:); figure(1); plot(u,v,'r-','LineWidth',2);
```

读者可测试代码发现, 当时间步长过大时, 数值格式不稳定.

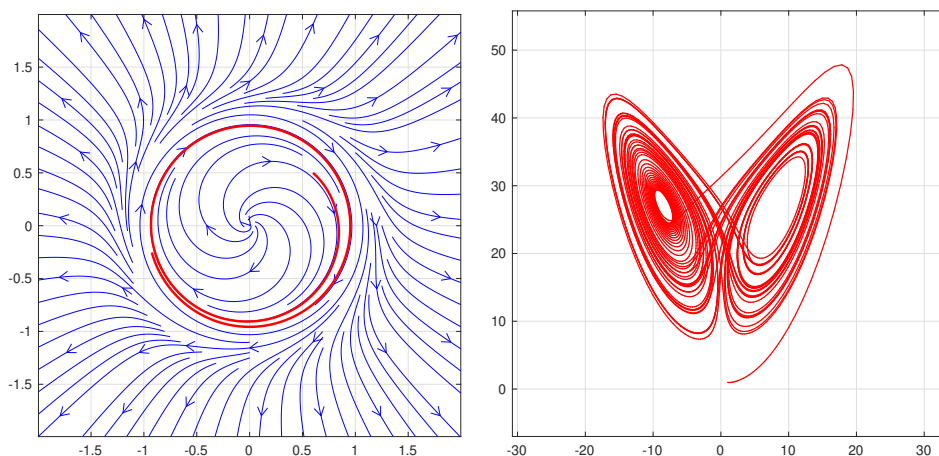


Figure 1: 左图由上一代码生成，可以测试当时间步长 $dt = 0.02$ 时Euler方法不稳定，数值解趋于无穷大；而采用隐式后退Euler法计算(代码13-17行)，是稳定的；右图是Lorenz方程的数值解，方程表达式见例5。

**例 5** 考虑如下问题

$$\begin{cases} \frac{dx}{dt} = 10y - 10x, \\ \frac{dy}{dt} = 28x - y - xz, \\ \frac{dz}{dt} = xy - \frac{8}{3}z, \\ [x(0), y(0), z(0)] = [1, 1, 1] \end{cases} \quad t > 0$$

## 5 稳定性区域 A-stable

**例 6** 应用Euler方法计算

$$\begin{cases} y' = -100y, \\ y(0) = 1. \end{cases}$$

精确解  $y(x) = e^{-100x}$  取步长  $h = 0.025$ ，则Euler格式满足

$$y^{j+1} = -1.5 * y^j.$$

由此得到数值解  $y^j = (-1.5)^j$ .

Euler法计算出了错误结果！想一想：相容、收敛、Lax 稳定等条件都满足，为何算出错误的结果？上节方程组的例子，为何同样的步长，显式Euler不稳定而隐式Euler稳定？

**定义 4 (稳定性区域)** 对固定步长 $h$ 和复数 $\lambda$ ，将数值方法

$$y_{j+1} = y_j + h\varphi(y_j, y_{j+1}, h)$$

应用到模型问题

$$y' = \lambda y$$

并计算数值解. 若得到的数值解 $\{y_j\}$ 数列一致有界, 即存在与 $h$ 无关的常数使得

$$|y^j| < c, \quad j = 1, 2, \dots$$

成立, 则称该数值方法对一组数 $(h, \lambda)$ 是绝对稳定的(Absolute-stability); 满足绝对稳定条件的 $\mu = h\lambda$ 的所有元素组成的集合, 对应复平面的一个区域, 称为——稳定性区域. 与实数轴的交集称为稳定性区间.

两点解释:

- 为何只考虑线性问题?
- $\lambda$ 为何要取复数?

**标注 5.1** 针对非线性问题可采用局部线性化方法:

$$\begin{aligned} y' = f(x, y) &= f(\bar{x}, \bar{y}) + f_x(\bar{x}, \bar{y}) \cdot (x - \bar{x}) + f_y(\bar{x}, \bar{y}) \cdot (y - \bar{y}) + \mathcal{O}(|x - \bar{x}|^2 + |y - \bar{y}|^2) \\ &\approx Ay + Bx + C \end{aligned}$$

记(待定系数法):  $z = y + Dx + E = y + \frac{B}{A}x + \frac{C + B/A}{A}$  得到模型问题形式:

$$z' = Az$$

因此, 只要考虑线性问题即可。

**标注 5.2** 若考查的是非线性微分方程组

$$\begin{cases} y_1' = f_1(x, y_1, y_2, \dots, y_n) \\ y_2' = f_2(x, y_1, y_2, \dots, y_n) \\ \vdots \\ y_n' = f_n(x, y_1, y_2, \dots, y_n) \end{cases}, \quad \frac{d}{dx} Y = F(Y)$$

同样可以考虑线性化, 得到如下形式的线性微分方程组

$$\frac{d}{dx} Y = AY, \quad \text{其中 } Y \text{ 为向量值函数 } A = (a_{ij})_{n \times n}$$

设矩阵 $A$ 可对角化为  $A = SAS^{-1}$ , 即

$$\frac{d}{dx} (S^{-1}Y) = \Lambda(S^{-1}Y), \quad \frac{d}{dx} Z = \Lambda Z$$

实数矩阵的特征值 $\lambda_j$ 可能为复数(complex number), 因此需要考虑复数情况。

将数值格式应用到线性问题

$$y' = \lambda y$$

其中  $\operatorname{Re}(\lambda) < 0$ . 由于问题是线性的, 则可得如下分离形式

$$y_{j+1} = E(h\lambda)y_j$$

若要  $y_{j+1}$  一致有界, 则必要  $|E(h\lambda)| \leq 1$ . 另外,  $\mu = h\lambda$  是一个整体, 稳定性区域是  $\mu$  在复平面上满足的区域.

### 5.1 Euler方法的稳定性区域

将Euler方法应用到模型问题得到:

$$y_{j+1} = y_j + h\lambda y_j = (1 + h\lambda)y_j = (1 + \mu)^{j+1}y_0$$

若要绝对问题得到等价条件:

$$|1 + h\lambda| = |1 + \mu| \leq 1$$

该条件对应图像: 复平面上, 以  $(-1, 0)$  为圆心, 以  $\mu = h$  为变量的单位圆, 也即是Euler方法的稳定性区域. 若  $\lambda < 0$  取实数, 则

$$-1 < 1 + \mu < 1, \quad -1 \leq \mu \leq 0$$

称为稳定性区间.

[练习:] 应用后退Euler方法到模型问题, 推导稳定性区域, 即  $\mu = h\lambda$  满足的不等式.

### 5.2 中点、梯形公式的稳定性区域

梯形公式应用到模型问题可得:

$$y_{j+1} - y_j = \frac{h}{2}(y_{j+1} + y_j) \Rightarrow y_{j+1} = E(h\lambda) \cdot y_j = \frac{1 + \lambda h}{1 - \lambda h} y_j$$

则稳定性区域满足的不等式为

$$\left| \frac{1 + \lambda h}{1 - \lambda h} \right| \leq 1, \quad \text{or} \quad |1 + \lambda h| \leq |1 - \lambda h|.$$

记  $\mu = \lambda h = x + yi$ ,  $x, y \in \mathbb{R}$  得

$$(1 + x)^2 + y^2 \leq (1 - x)^2 + y^2 \Rightarrow x \leq 0.$$

即得 梯形方法的稳定性区域为  $h\lambda$ -复平面的左半平面. 若  $\lambda \in \mathbb{R}$ ,  $\lambda < 0$ , 可得  $h\lambda \leq 0$ . 梯形公式的稳定性区间为  $(-\infty, 0]$ .

**例 7** 显式中点公式

$$y_{j+1} = y_j + h \left[ f(x_{j+1/2}, y_j + \frac{h}{2} f(x_j, y_j)) \right]$$

隐式中点公式:

$$y_{j+1} = y_j + h \left[ f(x_{j+1/2}, \frac{y_j + y_{j+1}}{2}) \right]$$

试推导以上格式的稳定性区域满足的方程, 并给出  $\text{Re}(\lambda) < 0$  时的稳定性区间。

**定义 5** 如果数值方法的绝对稳定区域包含了集合  $\{h\lambda \mid \text{Re}(h\lambda) < 0\}$ , 也即是对步长  $h$  没有限制, 则称该方法是A-稳定的, 或者绝对稳定的。

**标注 5.3** 一般来说, 显式格式都不能满足对所有  $h > 0$  是绝对稳定的, 例如改进的Euler格式, 4阶Runge-Kutta分别对应  $(\mu = \lambda h)$

$$E(\lambda h) = 1 + \mu + \mu^2/2, \quad E(\lambda h) = 1 + \mu + \mu^2/2 + \mu^3/6 + \mu^4/24$$

其稳定性区域即是满足  $|E(\mu)| \leq 1$  在复平面上围成的区域。给出  $\mu$  的显式表达式是困难的, 我们利用Matlab函数fimplicit 画出 一些单步方法所对应的稳定性区域。

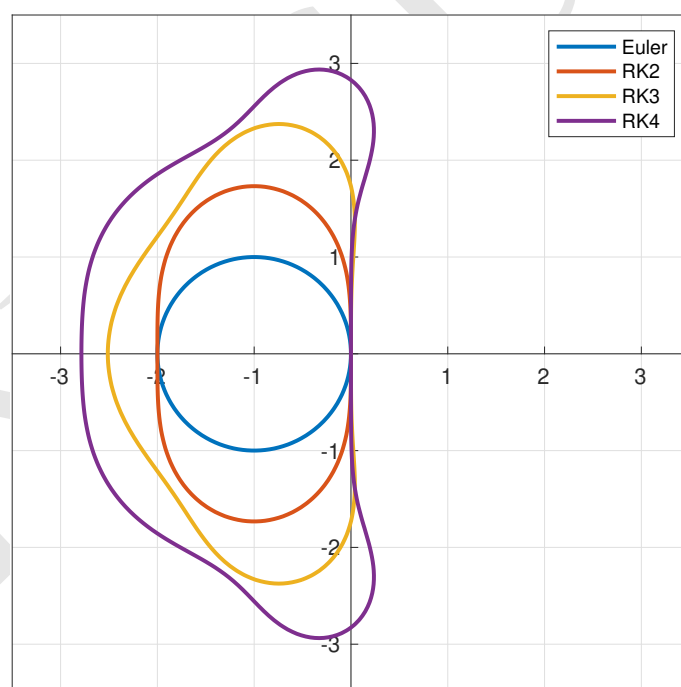


Figure 2: 彩色曲线围成的区域从小到大依次为Runge-Kutta方法1阶到4阶方法 的稳定性区域

## 6 刚性 (Stiff) 问题(略)

考虑如下线性微分方程组:

$$\begin{cases} y_1' = -10y_2 \\ y_2' = 100y_1 - 1001y_2 \end{cases} \quad \begin{bmatrix} y_1' \\ y_2' \end{bmatrix} = \begin{bmatrix} 0 & -10 \\ 100 & -1001 \end{bmatrix} \begin{bmatrix} y_1 \\ y_2 \end{bmatrix} \rightarrow \frac{d}{dx} Y = A * Y$$

初值取  $y_1(0) = y_2(0) = 1$ , 或者  $Y(0) = [1; 1]$ .

计算得到矩阵的特征对  $AS = SA$

$$\begin{bmatrix} 0 & -10 \\ 100 & -1001 \end{bmatrix} * \begin{bmatrix} 10 & 1 \\ 1 & 100 \end{bmatrix} = \begin{bmatrix} 10 & 1 \\ 1 & 100 \end{bmatrix} \begin{bmatrix} -1 & 0 \\ 0 & -1000 \end{bmatrix}$$

记  $Z(x) = S^{-1} * Y(x)$  得到

$$\frac{d}{dx} Z = \Lambda Z \rightarrow Z(x) = \begin{bmatrix} c_1 e^{-x} \\ c_2 e^{-1000x} \end{bmatrix}$$

根据初值条件  $Z(0) = S^{-1} * Y(0)$  确定常数  $c_1 = 11/111$ ,  $c_2 = 1/111$ . 进而得到精确解:

$$Y(x) = S * Z(x) = \begin{bmatrix} y_1(x) \\ y_2(x) \end{bmatrix} = \begin{bmatrix} \frac{110}{111} e^{-x} + \frac{1}{111} e^{-1000x} \\ \frac{11}{111} e^{-x} + \frac{100}{111} e^{-1000x} \end{bmatrix}$$

思考: 对  $x \in [0, 1]$ , 应用Euler方法或者改进的Euler方法求解上述问题, 是否需要步长进行限制? 效率如何? 对  $\lambda_1 = -1$ , Euler方法要求步长  $h < 2$  即可, 而对  $\lambda_1 = -1000$ , Euler方法要求步长  $h < 0.002$ . 由于方程组需要同时求解两个方程, 整体对步长限制  $h < 0.002$ .

**标注 6.1** 对于方程组情形, 线性化后的矩阵若最大和最小特征值比值过大则称为刚性问题。所有显格式均不是A稳定的, 不适合求解刚性问题。刚性比越大, 方程越病态, 最好采用A-stable方法, 例如后退Euler, 梯形方法。

### 上机练习

1. 分别用Euler方法, 改进的Euler方法, 经典4阶Runge-Kutta方法计算

$$\begin{cases} y' = \frac{1}{x^2} - \frac{y}{x}, & 1 \leq x \leq 2, \\ y(1) = 1; \end{cases}$$

取步长  $h = 0.1$ , 画出数值解图像.

2. 分别用 Euler方法、RK4、以及后退的Euler方法求解刚性方程组 (第四节例子), 初值取

$$y(0) = z(0) = 1$$